

114 生殖生長期 旱魃程度에 따른 退化, 不稔, 登熟 및 養分吸收에 미치는 研究

全羅北道 農村振興院 黃昌周. 羅鍾域*, 崔珠日. 鄭鎭呈. 蘇在敦.
圓光大學校 農科大學 李萬相

Studies on the Degeneration, Sterility, Ripening and Nutrient Uptake
by Drought Degree at Reproductive Growth Stage

Jeonbuk O. R. D. Whang, Chang Ju. Ra, Jong Seong. Choi, Su Il
Jeong, Jin Uk. So, Jae Don.

Coll. of Agri. Weonkwang Univ. Lee, Man Sang.

稻体外 生理의으로 가장 弱한 生殖生長期 旱魃은 冷害 同시 结冰 生育諸形質의
發現은 溫害나 빙结害로 分蘖減少, 穗長短縮, 出穗遲延, 穗花數減退, 不稔等을 包含 이차으로서
物質集積障害를 誘發시킬은 周知의 事實이다. 따라서 本試驗은 由의 幼穗形成期에
減數分裂期에 由의 旱魃被害을 形成을 때 花起引起的 程의 伸長短縮反應을 以 以下の 育
育形質에 亂身, 穗稍十稈, 이차의 養分吸收 被害樣相等을 究正本 試驗을 運行せん中.

材料 및 方法: 幼穗形成期에 減數分裂期 旱魃程度에 由生育諸形質 및 養分吸收에
미치는 影響을 알고자 日本型 品種인 大晴마을 供試하여 1/2000 Pot에 試驗斗
設け. 旱魃處理方法은 幼穗形成期(出穗前 25日) 및 減數分裂期(出穗前 12日)에 Pot
에 用水量 完全灌水를 後 5, 10, 15, 20日向 断水處理斗設け. 栽培法은 4月 16日에
播種, 5月 30日에 移植 斗設立 施肥量(每/10a)은 N-P₂O₅-K₂O = 11-10-11를 用
耕用 斗設으로 生育諸形質 및 植物体分析方法等은 農事試驗研究調查基準에 準據せん.

實驗結果 및 考察: 生育諸形質에 發現 및 養分吸收 樣相은 生育段階에 断水處理期
向에 따라 被害反應이 相異斗設之에 隨時灌水의 慢行에 由斗에 断水處理의 穗長, 穗
長, 抽出度의 伸長을 頭著히 防制시킬 正 幼穗形成期보다는 減數分裂期 旱魃이 伸長의
伸長短縮에 敏感斗에 反應斗設中. 程의 伸長短縮反應은 節間長으로 由의 幼穗形成期
旱魃은 下位節, 減數分裂期 旱魃은 上位節의 伸長短縮에 反應斗設斗設中. 由의 旱魃
은 二次枝梗 및 穗花의 頭生數 減退에 退化를 助長시킬 由의 被害程度이 断水期間이
及正 幼穗伸長初期의 幼穗形成期 旱魃에 退化가 助長斗設中. 登熟比率 및 不稔도 短
期向의 旱魃이 此斗에 断水期間이 길어질수록 不稔助長 및 登熟을 防止하 溫害나 빙
结害의 物質集積障害를 誘發시키 穗莖의 伸長肥大를 溫害或 빙结害로 認
知되었기 因此斗. 植物体外 無機成分組成은 亂身, 穗稍十稈, 由斗에 物質生產力은
減退시킬 수 由의 無機成分組成은 叶斗設斗에 植酸이 比斗에 全氮素, 加里, 硅酸이
吸收障害를 誘發시킬斗. 亂身, 穗稍十稈, 由斗의 硅素比斗 2次枝梗 및 穗花退化率斗의
相對關係는 穗稍十稈보다는 物質對力深刻 亂身斗 穗花의 着生器官이 이차의 硅素 및
硅酸含量에 影響을 받으며 不稔 및 登熟比率은 穗花의 着生器官이 이차의營養狀態
에 敏感斗에 影響을 受正 斗設中.

Table 2. Variation of growth character with water suspension duration.
(Unit: cm)

Item	Control	P P S				R D S			
		S	10	15	20	S	10	15	20
Culm length	84	81	79	74	67	80	75	50	51
Panicle length	20.4	20.2	19.9	19.0	18.4	20.0	19.1	17.0	15.2
Panicle exertion	7.3	7.0	6.8	5.3	4.0	5.6	3.9	1.8	0.3

Table 3. Comparison of length of internode with water suspension duration.
(Unit: cm)

Item	First internode	Second internode		Third internode		Fourth internode		Fifth internode	
		Control	P P S	Control	P P S	Control	P P S	Control	P P S
Control	36.9	21.4	13.7	8.2	3.8				
	5	36.3	21.1	13.5	8.0	3.7			
	10	35.7	20.9	13.2	7.8	3.5			
	15	34.7	20.5	13.0	7.5	3.3			
P P S	20	31.5	18.7	12.1	6.9	2.9			
	5	36.1	21.0	13.4	8.1	3.8			
	10	34.2	19.5	13.1	7.9	3.6			
	15	34.1	19.4	9.7	5.3	2.4			
R D S	20	27.3	14.9	8.6	4.5	2.1			
	5	26.2	3.8	22.4	14.6	8.3	5	7.8	6.0
	10	25.8	4.6	21.2	17.8	7.9	8	7.1	10.1
	15	25.0	5.6	19.6	21.6	7.6	10	6.6	13.2
	20	24.1	6.4	17.7	26.6	7.3	12	6.1	16.4

Table 4. No. of differentiation and degeneration ratio of 2nd rachis branches and spikelets with water suspension duration.

Growth Water suspen-	2nd branch				spikelets				
	NT	ND	NP	DR	NT	ND	NP	DR	
Control	26.8	3.4	23.4	12.7	86	3	83	3.6	
	5	28.0	4.2	21.8	15.2	82	6	76	7.5
	10	25.4	6.0	19.4	22.6	76	10	66	13.2
	15	24.0	7.1	16.9	29.0	74	18	50	20.3
P P S	20	22.5	8.5	13.0	37.8	70	21	40	39.0
	5	26.2	3.8	22.4	14.6	8.3	5	7.8	6.0
	10	25.3	4.6	21.2	17.8	7.9	8	7.1	10.1
	15	25.0	5.6	19.6	21.6	7.6	10	6.6	13.2
R D S	20	24.1	6.4	17.7	26.6	7.3	12	6.1	16.4

Note : NT = No. of total differentiation ND = No. of degeneration
NP = No. of present DR = degeneration ratio.

Table 5. Variation of grain size with water suspension duration.
(Unit: mm)

Item	Control	P P S				R D S			
		5	10	15	20	5	10	15	20
<u>Length</u>									
Unhulled rice	7.48	7.41	7.37	7.10	6.81	7.39	7.02	6.41	5.03
Hulled rice	5.35	5.24	5.17	4.82	4.43	5.18	4.71	3.94	3.20
Difference	2.13	2.12	2.20	2.28	2.39	2.21	2.32	2.47	2.64
<u>Width</u>									
Unhulled rice	9.35	9.33	9.20	9.27	9.23	9.30	9.21	9.14	9.01
Hulled rice	2.85	2.80	2.81	2.61	2.16	2.73	2.58	2.43	2.21
Difference	0.50	0.53	0.61	0.66	0.75	0.57	0.63	0.71	0.80
<u>Thickness</u>									
Unhulled rice	2.31	2.30	2.26	2.22	2.17	2.28	2.22	2.10	2.13
Hulled rice	2.12	2.10	2.04	1.98	1.92	2.07	2.00	1.93	1.84
Difference	0.19	0.20	0.22	0.24	0.25	0.21	0.24	0.26	0.29

Table 6. Mineral contents in leaf blade, leaf sheath plus culm and panicle by water suspension duration.

Item	Leaf blade			Leaf sheath + Culm			Panicle						
	T-N	P ₂ O ₅	K ₂ O	T-N	P ₂ O ₅	K ₂ O	T-N	P ₂ O ₅	K ₂ O	T-N	P ₂ O ₅	K ₂ O	
Control	1.51	0.24	2.4	10.0	0.51	0.32	2.7	5.3	0.77	0.26	2.4	6.0	
	5	1.58	0.20	2.4	9.6	0.53	0.31	2.6	5.1	1.0	0.28	2.0	5.2
	10	2.14	0.20	2.5	9.2	0.56	0.31	2.0	4.9	1.09	0.28	2.2	5.0
	15	2.17	0.19	2.6	9.0	0.83	0.32	3.0	4.5	1.12	0.28	2.4	4.8
P P S	20	2.38	0.18	2.9	8.2	1.35	0.32	3.0	4.1	1.15	0.29	2.3	4.5
	5	1.59	0.21	2.5	9.5	0.81	0.32	3.0	5.2	1.06	0.25	2.4	4.8
	10	1.88	0.21	2.6	9.2	1.05	0.31	3.3	4.9	1.06	0.24	2.7	4.7
	15	2.15	0.20	3.1	8.9	1.10	0.33	3.5	4.7	1.10	0.25	2.0	4.5
R D S	20	2.38	0.18	2.9	8.1	1.19	0.34	3.5	4.3	1.15	0.28	2.4	4.2

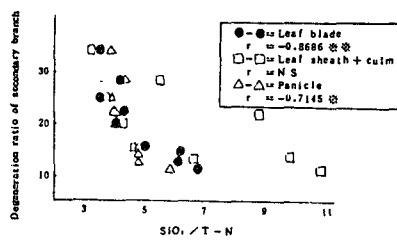


Fig. 2. Relationship between $\text{SiO}_2/\text{T-N}$ and degeneration ratio of secondary branches of leaf blade, leaf sheath plus culm and panicle.

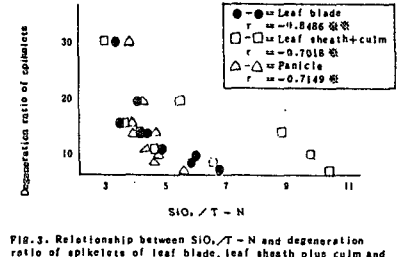


Fig. 3. Relationship between $\text{SiO}_2/\text{T-N}$ and degeneration ratio of spikelets of leaf blade, leaf sheath plus culm and panicle.

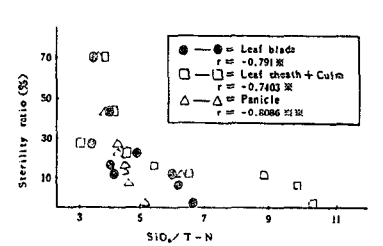


Fig. 4. Relationship between $\text{SiO}_2/\text{T-N}$ and sterility ratio of leaf blade, leaf sheath plus culm and panicle.

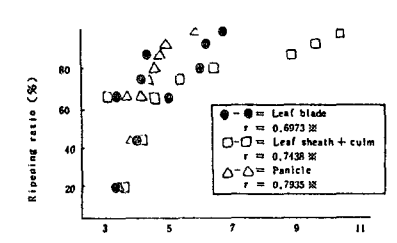


Fig. 5. Relationship between $\text{SiO}_2/\text{T-N}$ and ripening ratio of leaf blade, leaf sheath plus culm and panicle.

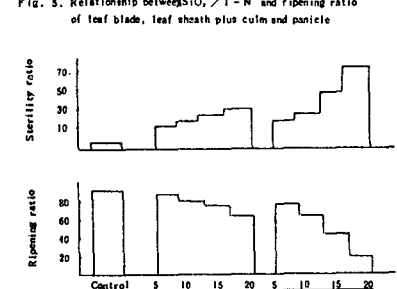


Fig. 6. Comparison of ripening ratio and sterility ratio with water suspension duration.